



## کنترل تحمل پذیر عیب فعال برای سیستم‌های توربین بادی با استفاده از مد لغزشی مبتنی بر رؤیتگر اغتشاش و تخمین تأخیر زمانی

محمود مزارع، مصطفی تقی‌زاده\*

دانشکده مهندسی مکانیک و انرژی، دانشگاه شهید بهشتی، تهران، ایران

**تاریخچه داوری:**

دریافت: ۱۳۹۹/۰۳/۱۲

بازنگری: ۱۳۹۹/۱۰/۰۷

پذیرش: ۱۳۹۹/۱۲/۰۷

ارائه آنلاین: ۱۳۹۹/۱۲/۲۱

**کلمات کلیدی:**

توربین باد

کنترل زاویه پیچ

کنترل تحمل پذیر عیب

رؤیتگر اغتشاش غیرخطی

تخمین تأخیر زمانی

**خلاصه:** در این مقاله، کنترل تحمل پذیر عیب فعال بر مبنای تخمین تأخیر زمانی، مد لغزشی و رؤیتگر اغتشاش غیرخطی برای کنترل زیرسیستم زاویه پیچ در حضور عیب عملگر و عدم قطعیت ارائه شده است. تخمین تأخیر زمانی به عنوان الگوریتم تخمین عیب برای تشخیص و جبران اثرات عیب عملگر به کار گرفته شده است. در ادامه، با ترکیب روش مد لغزشی، کنترل تأخیر زمانی و رؤیتگر غیرخطی اغتشاش یک قانون کنترل مقاوم برای خنثی کردن اثرات عیب و عدم قطعیت طراحی شده است. به منظور کاهش چترینگ در کنترل مد لغزشی معمولی که به علت جمله کنترلی ناپیوسته به وجود می‌آید، یک رؤیتگر اغتشاش غیرخطی طراحی و با قانون کنترل مد لغزشی و کنترل تأخیر زمانی ترکیب شده است. در ساختار پیشنهادی، بهره کنترلی جمله ناپیوسته به میزان قابل ملاحظه‌ای کاهش یافته درنتیجه پدیده چترینگ به طور چشم‌گیری کاهش می‌باید. تحلیل پایداری بر مبنای تئوری لیابانوف انجام شده است. پروفیل سرعت باد با استفاده از نرم‌افزار توربیسیم تولید شده، و قانون کنترل پیشنهادی بر مبنای مدل دو جرمی طراحی و به منظور اعتبارسنجی در محیط نرم‌افزار فست پیاده‌سازی شده است. نتایج، برتری کنترل کننده پیشنهادی در مقایسه با کنترل کننده‌های خطی‌سازی فیدبک و جدول‌بندی بهره در حضور عدم قطعیت و عیوب مختلف عملگر از قبیل نشتی هیدرولیکی، خرابی پمپ و محتوی هوا در روغن هیدرولیک را نشان می‌دهد.

### ۱- مقدمه

توربین بادی در محدوده نامی خود، از مزیت کنترل زاویه پیچ بهره برده می‌شود. کنترل زاویه پیچ به توربین بادی این اجازه را می‌دهد تا به گونه‌ای کار کند که انرژی استخراجی آن در حداقل مقدار ممکن باشد و در عین حال بارهای وارد بر توربین کمترین مقدار را داشته باشند [۲].

نیازهای تحقیقاتی همسو با گسترش و توسعه سیستم‌های توربین بادی به سرعت در حال رشد هستند. در طول سال‌های گذشته روش‌های کنترلی مختلفی برای کنترل زاویه پیچ توربین‌های بادی پیشنهاد شده است. کنترل ال.کیو.آر<sup>۱</sup> [۴-۳] و کنترل تناسبی - انتگرالی یا تناسبی - انتگرالی-مشتقی [۷-۵] نمونه‌هایی از این

در سال‌های اخیر، انرژی‌های تجدیدپذیر به عنوان یکی از منابع اصلی انرژی شناخته شده است. توربین باد یکی از سیستم‌های معروف و متداول با انرژی‌های تجدیدپذیر بوده که دارای ناحیه‌های کاری مختلفی می‌باشد. توربین‌های بادی به دو دسته کلی سرعت ثابت و سرعت متغیر تقسیم بندی می‌شوند که در نوع سرعت متغیر، زاویه پیچ یکی از مهمترین پارامترهای توربین برای افزایش استخراج انرژی و کاهش بارهای خستگی است [۱]. در سرعت‌های باد کم تا متوسط، زاویه پیچ برای استخراج حداقل انرژی از باد مورد استفاده قرار می‌گیرد. در سرعت‌های باد زیاد، برای نگه داشتن توان آیرودینامیکی

\*نویسنده عهده‌دار مکاتبات: mo\_taghizadeh@sbu.ac.ir

1LQR

حقوق مؤلفین به نویسنده‌گان و حقوق ناشر به انتشارات دانشگاه امیرکبیر داده شده است. این مقاله تحت لیسانس آفرینندگی مردمی (Creative Commons License) در دسترس شما قرار گرفته است. برای جزئیات این لیسانس، از آدرس <https://www.creativecommons.org/licenses/by-nc/4.0/legalcode> دیدن فرمائید.



در قانون کنترلی خود بوده که منجر به چتربینگ در سیگنال کنترلی می‌شود و عملکرد سیستم کنترل را کاهش می‌دهد. مقاومت در برابر عدم قطعیت‌های پارامتری سیستم و اغتشاشات شبکه بر قبیل وجود این جمله در قانون کنترل از مهم‌ترین ویژگی‌های کنترل کننده طراحی شده است. عصاره و بیگلری [۱۶]، یک روش هیبریدی برای کنترل گشتاور ژنراتور توربین‌های بادی ارائه داده‌اند. استخراج حداکثر توان از سیستم هدف اصلی این کنترل کننده است. کنترل سرعت توربین بادی به منظور مطالعه عملکرد و تحلیل پایداری دینامیک سیستم انتقال توربین بادی توسط رحیمی [۱۷] ارائه شده است. مرادی و وثوقی [۱۸] کنترل کننده‌های تناسبی-انتگرالی-مشتقی و اج‌بینهایت<sup>۱</sup> را در حضور عدم قطعیت‌های مدل/محیط برای کنترل زاویه پیچ توربین بادی مقایسه کردند. در این مقاله، کنترل کننده تناسبی-انتگرالی-مشتقی با روش آنالیز مکان هندسی ریشه و کنترل کننده اج‌بینهایت<sup>۲</sup> با روش سنتز میو طراحی شده است. در مرجع [۱۹] کنترل کننده فیدبک حالت دینامیکی برای یک توربین بادی سرعت متغیر پیشنهاد شده است. نویسنده‌گان در این مقاله شبیه‌سازی خود را در حضور تخمین‌گر سرعت باد نیز ارائه داده‌اند و با مقایسه نتایج نشان دادند که کنترل کننده پیشنهادی در مقایسه با کنترل کننده کلاسیک عملکرد بهتری دارد.

عملکرد سالم و قابل اطمینان سیستم‌های توربین بادی بسیار حائز اهمیت بوده به‌گونه‌ای که با بروز عیب در یک زیرسیستم، این احتمال وجود دارد که عیب به مرور رشد و درنهایت منجر به خرابی و توقف عملکرد شود. درنتیجه، ساختار کنترلی باید بتواند به‌گونه‌ای عمل کند که تا حد امکان اثر این عیب را کمینه و یا با وجود عیب در زیرسیستم، عملکرد سیستم کلی دچار اختلال نشود. ازین‌رو، به منظور نیل به این هدف، کنترل تحمل‌پذیر عیب ارائه شده است. سیستم کنترل تحمل‌پذیر عیب به دو دستهٔ فعل و غیرفعال تقسیم‌بندی می‌شود. هر دو دستهٔ روش‌های طراحی مختلفی را برای نیل به یک هدف یکسان به کار می‌گیرند. سیستم کنترل تحمل‌پذیر فعل عیب به اطلاعات عیب نیاز داشته و معمولاً در ساختار کنترلی خود دارای سیستم تشخیص عیب بوده در حالیکه سیستم کنترل تحمل‌پذیر عیب غیرفعال به دانش قبلی در رابطه با عیب نیازی ندارد و از یک ساختار کنترلی ثابت ( مقاوم ) برای مقابله با اثرات عیب

کنترل کننده‌ها هستند. اگرچه روش‌های کلاسیک به طور مرسوم در کنترل این سیستم‌ها استفاده می‌شوند، این روش‌ها خیلی مؤثر نیستند به دلیل اینکه کنترل کننده‌های کلاسیک مقاومت کافی در برابر نویز، اغتشاشات و عدم قطعیت‌هایی مانند تغییر پارامترها و دینامیک مدل نشده سیستم را ندارند. بنابراین توسعه روش‌های کنترلی مؤثر و قابل اعتماد در آن‌ها برای رسیدن به عملکرد استخراج توان بهینه، بسیار حیاتی است. از این رو بسیاری از کارشناسان و محققان به دنبال مطالعه روش‌های کنترلی بهتر و موثرتر هستند. از جمله‌ی آن‌ها می‌توان روش‌هایی از جمله منطق فازی، فازی-عصبی، شبکه عصبی، الگوریتم‌های ژنتیک، الگوریتم‌های تکاملی، روش مصنوعی، روش‌های غیرخطی، روش‌های تطبیقی، روش‌های پیش‌بین و غیره را نام برد که به چند نمونه از کارهای انجام شده در ادامه اشاره می‌شود.

به منظور ریدایبی سرعت مطلوب روتور، سانگ و همکاران [۱۸] با استفاده از روش‌های تطبیقی و غیرخطی یک کنترل کننده برای توربین‌های بادی سرعت متغیر طراحی کردند. کنترل کننده پیچ پره تکی با روش گاووسین مرتبه دوم خطی توسط بوسانی [۹] ارائه شد. همچنین کنترل کننده پیچ پره جمعی و تکی با روش مذکور توسط سندکویست و همکاران [۱۰] مورد مطالعه قرار گرفته است. کاهش بارهای توربین هدف اصلی این دو مقاله می‌باشد. هموار کردن توان خروجی و نوسانات بار توربین بادی با استفاده از یک کنترل کننده پیچ جدید توسط بین و همکاران [۱۱] ارائه شده است. کاهش توان ژنراتور و نوسانات بار از اهداف این کنترل کننده بود. همچنین آن‌ها کنترل کننده زاویه پیچ مد لغزشی گام به عقب تطبیقی برای سیستم پیچ توربین بادی را در مرجع [۱۲] ارائه داده‌اند. به علاوه، روش جدول‌بندی بهره نیز در سال‌های اخیر استفاده شده است. لسچر و همکاران [۱۳] از این روش برای طراحی قانون کنترلی برای توربین‌های بادی استفاده کرده‌اند. بیانچی و همکاران [۱۴] نیز با این روش یک کنترل کننده برای توربین‌های بادی سرعت متغیر به منظور بهبود کارایی سیستم، عملکرد ایمن و کاهش نوسانات گشتاور طراحی کرده‌اند. بلتران و همکاران [۱۵]، یک کنترل کننده مد لغزشی برای کنترل توان توربین‌های بادی سرعت متغیر با هدف تضمین پایداری سیستم در هر دو ناحیه کاری پیشنهاد داده‌اند. این کنترل کننده برای مقابله با عدم قطعیت‌های سیستم دارای یک جمله ناپیوسته با زمان

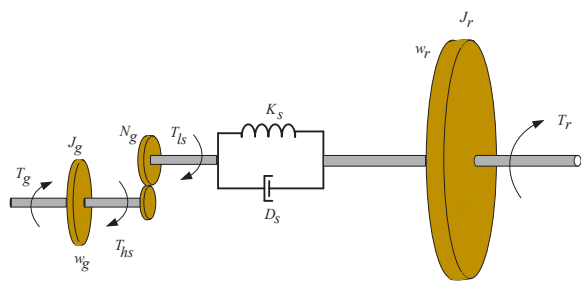
استفاده می‌کند.

را به همراه خواهد داشت. بروز عیب در سیستم‌های وابسته به توربین بادی خیلی معمول بوده و درنتیجه نیازمند چاره‌اندیشی مناسب هستند. بنابراین، تحمل‌پذیری مساله بسیار مهمی برای سیستم کنترل می‌باشد به گونه‌ای که با اتفاق افتادن عیب در سیستم، قادر به خاموش کردن سیستم در موقع ضرورت باشد. کنترل تحمل‌پذیر عیب فعال برای این منظور گزینه مناسبی می‌باشد چراکه می‌تواند به خوبی این شرایط را با بازسازی ساختار کنترلی مطابق با عیب اداره کند. مساله مهم دیگری که باید مورد توجه قرار بگیرد پذیده چترینگ در سیگنال کنترل بوده که عملکرد کنترل‌کننده را کاهش می‌دهد. این پذیده در کنترل مد لغزشی به علت جمله ناپیوسته با زمان ( $(d)$ sgn) برای غلبه بر عدم قطعیت ایجاد می‌شود [۲۷]. از این رو، نوآوری این مقاله عبارتست از: ۱) بهبود ساختار کنترلی با استفاده از تخمین تأخیر زمانی برای دسترسی به اطلاعات عیب ۲) بهبود عملکرد کنترل‌کننده با ترکیب رؤیتگر اغتشاش غیرخطی به منظور کاهش بهره کنترلی جمله ناپیوسته و کاهش چترینگ. عیب عملگر یکی از شایع‌ترین عیب‌ها در سیستم توربین باد بوده که در این مقاله مورد توجه قرار گرفته است. از آنجاییکه تحریک عملگر زاویه پیج از طریق سیستم هیدرولیکی می‌باشد، در این مقاله عیب تجهیزات هیدرولیکی از قبیل نشتی هیدرولیکی، خرایی پمپ و محتوى هوای درون سیال عامل (روغن) مدنظر قرار می‌گیرد. بنابراین، هدف اصلی این مقاله ارائه یک ساختار سریع، ساده و مقاوم برای سیستم توربین بادی در حضور عیب عملگر و عدم قطعیت سیستم می‌باشد. همچنین به منظور اعتبارسنجی، کنترل‌کننده در محیط شبیه‌ساز فست پیاده‌سازی می‌شود. در ادامه به منظور مقایسه و نشان دادن برتری ساختار تحمل‌پذیر پیشنهادی، نتایج با نتایج حاصل از کنترل‌کننده‌های جدول‌بندی بهره و خطی‌سازی فیدبک مقایسه خواهد شد.

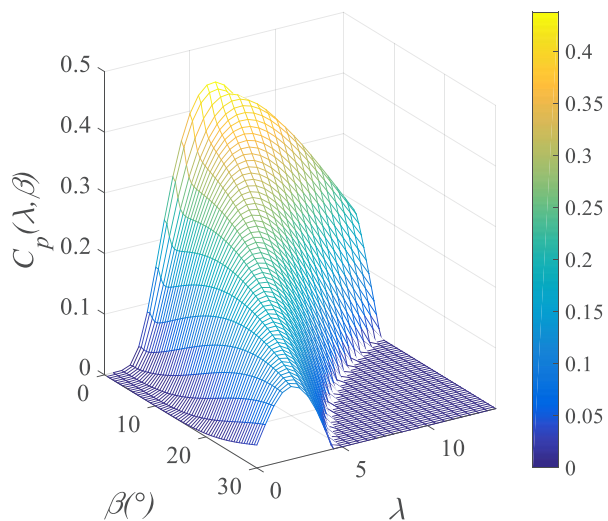
ساختار این مقاله بدین ترتیب است: در قسمت ۲ مدل دوجرمی توربین باد و عیب زیرسیستم عملگر زاویه پیج ارائه شده است. در قسمت ۳ ساختار کنترلی و سیستم تشخیص عیب ارائه و پایداری آن بررسی شده است. در قسمت ۴ نتایج شبیه‌سازی در محیط فست

اخیراً کاربرد سیستم کنترل تحمل‌پذیر عیب در توربین باد مورد توجه بسیاری از محققان قرار گرفته است. مآاتی و همکاران [۲۰] یک ساختار سیستم کنترل تحمل‌پذیر عیب برای مقابله با اثرات عیب جعبه دنده ارائه کردند که سیستم پیشنهادی آن‌ها قابلیت تولید توان مورد نظر در حضور این نوع عیب را دارد. یک سیستم کنترل تحمل‌پذیر عیب مبتنی بر رؤیتگر برای سیستم ژنراتور توربین باد در حضور عیب سنسور اندازه‌گیری جریان در مرجع [۲۱] ارائه شد. همچنین یک کنترل تحمل‌پذیر عیب فعال در حضور عیب عملگر و عدم قطعیت برای کنترل سرعت روتور و توان ژنراتور با استفاده از رهیافت مدلغزشی بازخوردی تطبیقی و یک جبران‌ساز مرتبه کامل برای سیستم توربین باد ۵ مگاواتی پیشنهاد شد [۲۲]. تشخیص عیب و کنترل تحمل‌پذیر عیب عملگر زاویه پیج با استفاده از یک جبران‌ساز اغتشاش و کنترل‌کننده ساختار گسسته در مرجع [۲۳] گزارش و نتایج ساختار پیشنهادی از طریق پیاده‌سازی در محیط فست اعتبرسنجی شد. حبیبی و همکاران یک ساختار تحمل‌پذیر تطبیقی برای سیستم توربین بادی در حضور عیب‌های عملگر ارائه دادند که در آن از الگوریتم بهره خود تنظیم استفاده شده بود [۲۴]. یک سیستم کنترل تحمل‌پذیر عیب فعال و غیرفعال با استفاده از روش پارامتر متغیر برای بررسی عیب عملگر زاویه پیج توسط اسلات و همکاران [۲۵] ارائه شد. آن‌ها از یک روش بهینه‌سازی برای حل مساله تحمل‌پذیر عیب فعال بر مبنای نابرابری ماتریسی استفاده کردند. سامی و پاتون [۲۶] یک استراتژی تحمل‌پذیر بر مبنای مد لغزشی و بهره تطبیقی برای یک نوع توربین باد ۵ مگاواتی به کار گرفتند که برای تخمین حالت و خروجی نامعلوم از یک رؤیتگر مقاوم استفاده کردند.

سیستم توربین باد دارای زیرسیستم‌های مختلفی از جمله زیرسیستم آیرودینامیکی، تنظیم زاویه پیج و زیرسیستم مکانیکی می‌باشد. زیرسیستم زاویه پیج نیز یکی از زیرسیستم‌های مهم توربین باد بوده که در صورت بروز هرگونه عیب یا خرابی، اثرات جبران‌نایپذیری



شکل ۱. مدل دو جرمی توربین بادی  
Fig. 1. Wind turbine two-mass model



شکل ۲. ضریب توان غیر خطی توربین بادی  
Fig. 2. Wind turbine nonlinear power coefficient

و ضریب توان آن در شکل‌های ۱ و ۲ نشان داده شده است. معادلات دیفرانسیلی حاکم بر این مدل دو جرمی را می‌توان به صورت زیر نوشت:

آورده شده است. در آخر نتایج حاصل از پژوهش در بخش ۵ بیان شده است.

## ۲- مدل سازی توربین بادی

مدل توربین بادی استفاده شده در این مقاله، توربین بادی مرجع وايند پکت<sup>۱</sup> ۱/۵ مگاوات است که در سال‌های ۲۰۰۰ تا ۲۰۰۲ میلادی توسط آزمایشگاه ملی انرژی‌های تجدید پذیر آمریکا<sup>۲</sup> طراحی شده است. این توربین از نوع توربین‌های بادی سه پره‌ای رو به باد محور افقی است که از کنترل سرعت-متغیر پیچ-متغیر بهره می‌برد. جزئیات بیشتر درباره این توربین بادی را می‌توان در مرجع [۲۸] مشاهد نمود. پیکربندی مدل دو جرمی ساده این توربین بادی

$\dot{\omega}_r = \frac{1}{J_r} \left( \frac{P_r(\omega_r, \beta, v)}{\omega_r} - \omega_r D_s + \frac{\omega_g D_s}{N_g} - \delta K_s \right)$   
 $\dot{\omega}_g = \frac{1}{J_g} \left( \frac{\omega_r D_s}{N_g} - \frac{\omega_g D_s}{N_g^2} + \frac{\delta K_s}{N_g} \frac{T_g}{J_g} \right)$   
 $\dot{\delta} = \omega_r - \frac{\omega_g}{N_g}$

سرعت روتور،  $\omega_r$  سرعت ژنراتور،  $\delta$  زاویه پیچش،  $T_g$  گشتاور ژنراتور،  $J_r$  و  $J_g$  به ترتیب اینرسی روتور و ژنراتور،  $N_g$

<sup>1</sup>WindPACT  
<sup>2</sup>NREL

$$C_p = 0.22(116\lambda_t - 0.4\beta - 5)e^{-12.5\lambda_t} \quad (5)$$

نسبت دنده و  $D_s$  و  $K_s$  به ترتیب ثابت‌های میرایی و سفتی سیستم محرك هستند. عملگر زاویه پیچ یک عملگر هیدرولیکی بوده که دینامیک آن توسط یکتابع تبدیل مرتبه دوم به صورت زیر درنظر گرفته می‌شود:

$$\lambda_t = \frac{1}{\lambda + 0.08\beta} - \frac{0.035}{\beta^3 + 1} \quad (6)$$

$$\lambda = \frac{\omega_r R}{V}$$

$$\frac{\beta}{\beta_r} = \frac{\omega_n^2}{s^2 + 2\zeta\omega_n s + \omega_n^2} \quad (7)$$

$\lambda$  نسبت سرعت نوک و  $\lambda_t$  یک متغیر واسط است. هدف این مقاله طراحی کنترل‌کننده زاویه پیچ برای توربین بادی در ناحیه بار کامل در حضور عیب عملگر می‌باشد. این هدف کنترلی با محدود کردن توان جذب شده توسط توربین بادی به منظور تنظیم سرعت دورانی روتور در مقدار نامی خود و یا به بیان دیگر تنظیم توان خروجی در مقدار نامی آن است.

که  $\beta$  زاویه پیچ و  $\beta_r$  ورودی کنترلی است. بردارهای حالت و ورودی به صورت زیر درنظر گرفته می‌شوند.

$$u = \beta_r \quad x = [\omega_r \quad \omega_g \quad \delta \quad \beta]^T, \quad (8)$$

توان مکانیکی جذب شده توسط توربین بادی ( $P_r$ ) به صورت زیر است:

$$P_r = \frac{1}{2}\pi\rho R^2 V^3 C_p(\omega_r, \beta, V) \quad (9)$$

**۱-۲- عیب عملگر در سیستم توربین باد**  
عیب در سیستم توربین باد دارای درجه‌های مختلفی از شدت می‌باشد. در حضور برخی از عیوب‌ها خاموشی سریع و مطمئن برای توربین باد ضروری و لازم است در حالیکه در حضور انواع دیگر عیوب، سیستم می‌تواند با تغییر ساختار به تأمین توان الکتریکی مورد نیاز ادامه دهد. اتفاق افتادن عیوب در سیستم منجر به تغییر تدریجی رفتار سیستم شده در نتیجه از کنترل‌کننده‌های ساختار متغیر برای کنترل سیستم استفاده می‌شود. در این مقاله، عیوب‌های عملگر زاویه پیچ

که  $R$  شعاع روتور،  $\rho$  چگالی هوا،  $V$  سرعت باد و  $C_p$  ضریب توان است که تابعی غیرخطی از  $\beta$  و  $\lambda$  می‌باشد. ضریب توان  $C_p$  برای توربین‌های بادی از طریق انجام محاسبات عددی بدست می‌آید و در جداول ارائه می‌شود. در این مقاله از ضریب توان آئرودینامیکی به صورت رابطه زیر استفاده شده است

جدول ۱. پارامترهای سیستم پیچ هیدرولیکی در شرایط مختلف

Table 1. Hydraulic pitch system parameters in different conditions

کی	$\omega_n$	عیب
۰/۶	۱۱/۱۱	حالت بدون عیب
۰/۴۵	۵/۳۷	محتوی هوا در رون عن هیدرولیک
۰/۷۵	۷/۲۷	خرابی پمپ
۰/۹	۳/۴۲	نشستی هیدرولیکی

از معادله (۷) می‌توان نوشت

$$\ddot{x}_1 = L_f + L_g u \quad (8)$$

که در آن  $L_f$  و  $L_g$  جمله‌های غیرخطی می‌باشند [۳۲].

### ۱-۳- کنترل کننده مد لغزشی

کنترل مد لغزشی یکی از روش‌های مرسوم کنترل غیرخطی بوده که در برابر عدم قطعیت‌ها و تغییرات پارامتری سیستم مقاوم است. سطح لغزش متغیر با زمان به صورت زیر تعریف می‌شود

$$S = \dot{e}(t) + k_p e(t) + k_i \int e(t) dt \quad (9)$$

در رابطه فوق  $e = \omega_r - \omega_r^*$  خطای پایدارسازی سرعت روتور و  $\omega_r^*$  بیانگر مقدار مرجع سرعت روتور می‌باشد. همچنین  $k_p$  و  $k_d$  ضرایب مثبت هستند. برای دستیابی به قانون کنترلی مد لغزشی از معادله (۹) نسبت به زمان مشتق گرفته می‌شود.

$$\dot{S} = (\ddot{x}_1 - \ddot{x}_1^*) + k_p \dot{e}(t) + k_i e(t) \quad (10)$$

با جایگذاری معادله (۸) در معادله (۱۰):

$$\dot{S} = (L_f + L_g u - \ddot{x}_1^*) + k_p \dot{e}(t) + k_i e(t) \quad (11)$$

با مساوی صفر قرار دادن رابطه (۱۱) قانون کنترل پیوسته با زمان به صورت زیر تعریف می‌شود:

$$u_{eq} = \frac{-1}{L_g} (k_p \dot{e} + k_i e + L_f - \ddot{\omega}_r^*) \quad (12)$$

رابطه (۱۲)، قانون کنترل پیوسته با زمان بدون حضور اغتشاش خارجی است. در حضور اغتشاش خارجی ( $d$ ) با جایگذاری این قانون کنترل در دینامیک سیستم توربین باد، معادله دینامیک خط

به عنوان نرخ بالای خرابی عملگر در سیستم توربین باد مورد مطالعه قرار می‌گیرد [۲۹]. در سیستم زاویه پیچ، عیب با تغییر ضریب میرایی و فرکانس طبیعی حالت نرمال نسبت به حالت وجود عیب به تغییر رفتار سیستم می‌شود. پارامترهای سیستم پیچ در شرایط مختلف در جدول ۱ داده شده است. عیب زیر سیستم زاویه پیچ عموماً شامل محتوی هوا در روغن هیدرولیک، خرابی پمپ و نشتی هیدرولیکی است. محتوی هوا در روغن هیدرولیک برای حالت بدون عیب ۷ درصد بوده در حالیکه همین مقدار در حضور این نوع عیب تقریباً ۱۵ درصد می‌باشد. خرابی پمپ بیانگر شرایطی است که در آن سیستم دارای ۷۵ درصد فشار بوده در حالی که در حضور نشتی هیدرولیکی این میزان معادل ۵۰ درصد است.

### ۳- طراحی کنترل کننده

در این بخش ساختار کنترل تحمل پذیر عیب فعال با استفاده از ترکیب استراتژی مد لغزشی، تخمین تأخیر زمانی و رؤیتگر اغتشاش غیرخطی طراحی و اثبات پایداری با استفاده از تئوری لیاپانوف نیز ارائه خواهد شد. همچنین کنترل کننده تطبیقی جدول‌بندی بهره و کنترل کننده مبتنی بر روش خطی‌سازی فیدبک برای کنترل زاویه پیچ سیستم توربین بادی طراحی می‌شود.

از آنجاییکه معادله مربوط به دینامیک روتور دارای جمله صریح ورودی کنترلی نیست، طبق اصول کنترل غیرخطی (خطی‌سازی ورودی-خروجی)، از خروجی سیستم یعنی سرعت روتور مشتق گرفته می‌شود تا زمانی که ورودی کنترلی ( $u = \beta_r$ ) ظاهر گردد. با در نظر گرفتن معادله دینامیک روتور بصورت رابطه (۷):

$$\dot{x}_1 = \frac{1}{J_r} \left( \frac{P_r(x_1, x_4, V)}{x_1} - x_1 D_s + \frac{x_2 D_s}{N_g} - x_3 K_s \right) \quad (7)$$

می‌توان نشان داد که تبدیل دیفومورفیزمی وجود دارد که سیستم توربین بادی در معادله (۷) با یک سیستم به فرم نرمال و با دینامیک صفر پایدار هم ارز است. به عبارت دیگر مشتق‌گیری از معادله (۷) تضمین می‌کند که سیستم در تمامی نقاط کاری خود پایدار و غیر تکین است [۳۰-۳۱]. بنابراین با علم به این موضوع و با مشتق‌گیری

به صورت زیر قابل بیان است:

**فرض ۱:** تغییرات اغتشاش در سیستم محدود بوده و  $\dot{d} = 0$   
با درنظر گرفتن فرض فوق و ترکیب روابط (۱۵) و (۱۶) و  
دینامیک توربین باد در حضور اغتشاش خارجی، دینامیک خطای  
تخمین اغتشاش به صورت زیر بدست می‌آید

$$\begin{aligned}\dot{\tilde{d}} &= \dot{d} - \dot{\hat{d}} \\ &= -\dot{z} - \lambda \ddot{\omega}_r = \lambda (\hat{d} - \lambda \dot{\omega}_r) + \lambda \\ [\lambda \dot{\omega}_r + L_f + L_g u] - \lambda (L_f + L_g u + d) &= -\lambda \tilde{d}\end{aligned}\quad (17)$$

**лем:** با برقراری فرض ۱ برای سیستم توربین باد، تخمین اغتشاش با استفاده از رؤیتگر اغتشاش غیرخطی فوق توانایی ردیابی مجانبی اغتشاش واقعی را دارا بوده به شرطی که بهره اغتشاش مثبت باشد [۳۴].

بنابراین، اگر بهره رؤیتگر اغتشاش مثبت انتخاب شود، رؤیتگر اغتشاش غیرخطی طراحی شده توانایی تخمین اغتشاش نامعلوم را دارا بوده و دینامیک خطای تخمین اغتشاش نیز به صورت مجانبی پایدار خواهد بود. علاوه بر این، با انتخاب هرچه بزرگتر بهره رؤیتگر، نرخ همگرایی خطای تخمین اغتشاش می‌تواند افزایش یابد.

**فرض ۲:** خطای تخمین اغتشاش محدود می‌باشد و

$$E_d = \sup_{t>} |\tilde{d}|$$

حال، قانون کنترل کلی برای سیستم توربین باد در حضور اغتشاش تخمین زده شده به صورت رابطه (۱۸) بازنویسی می‌شود:

$$u_{SM-NDO} = \frac{-1}{L_g} (-\ddot{\omega}_r^* + k_p \dot{e} + k_i e + L_f + \hat{d}) + u_{re} \quad (18)$$

**نتوی:** فرض‌های ۱ و ۲ برای سیستم توربین باد در حضور اغتشاش کند و متغیر با زمان برقرار هستند. با درنظر گرفتن سطح لغزش انتخابی، اغتشاش تخمین‌زده شده و قانون کنترل طراحی شده، پایداری سیستم توربین باد با این قانون کنترل تضمین خواهد شد

$$K \geq \eta + E_d$$

**اثبات:**تابع لیپانوف  $V = \frac{1}{2} (S^2 + \tilde{d}^2)$  را درنظر بگیرید. مشتق زمانی این تابع به صورت زیر محاسبه و ساده می‌شود:

$$\ddot{e} + k_p \dot{e} + k_i e - d = 0 \quad (13)$$

همانطور که در رابطه (۱۳) دیده می‌شود در حضور اغتشاش خارجی صرف نظر از مقادیر ضرایب ثابت، خطای ردیابی سیستم به سمت صفر همگرا نمی‌شود. بنابراین، به منظور غلبه بر این مشکل، یک جمله کنترلی ناپیوسته با زمان به قانون کنترل رابطه (۱۲) به صورت زیر اضافه می‌شود

$$u_{re} = \frac{-1}{L_g} K \operatorname{sgn}(S) \quad (14)$$

که  $K$  بیانگر بهره کنترلی لغزشی بوده و معمولاً برای تضمین حرکت لغزشی در حضور اغتشاش خارجی و عدم قطعیت مقدار بزرگی درنظر گرفته می‌شود. جمله ناپیوسته با زمان در حضور اغتشاش خارجی نامعلوم، بزرگ خواهد شد که باعث چترینگ می‌شود. در واقع به این علت که بهره کنترلی  $K$  بسیار بزرگتر از حد بالای اغتشاش خارجی انتخاب می‌شود، پدیده چترینگ به وجود می‌آید. از این رو، به منظور کاهش مقدار این بهره، یک رؤیتگر اغتشاش غیرخطی طراحی و با قانون کنترل مد لغزشی ترکیب خواهد شد.

### ۲-۳- رؤیتگر اغتشاش غیرخطی

یک رؤیتگر اغتشاش غیرخطی به منظور تخمین اغتشاش نامعلوم به صورت زیر درنظر گرفته می‌شود [۳۳]:

$$\begin{aligned}\dot{z} &= -\lambda z - \lambda [\lambda \dot{\omega}_r + L_f + L_g u] \\ \hat{d} &= z + \lambda \dot{\omega}_r\end{aligned}\quad (15)$$

که  $z$  متغیر داخلی رؤیتگر غیرخطی و  $\lambda$  بهره رؤیتگر اغتشاش است. خطای تخمین اغتشاش با توجه به اغتشاش تخمین‌زده شده به صورت رابطه (۱۶) قابل بیان است:

$$\tilde{d} = d - \hat{d} \quad (16)$$

$$\begin{aligned} \Phi_r(x, \dot{x}, u) + \Delta_r(x, \dot{x}, u) &= \ddot{x}_1 - L_f - L_g u \\ \hat{\Delta}_r(x, \dot{x}, u)_t + \hat{\Phi}_r(x, \dot{x}, u)_t &\triangleq \Delta_r(x, \dot{x}, u)_{t-\tau} \quad (22) \\ + \Phi_r(x, \dot{x}, u)_{t-\tau} &= \ddot{x}_{1_{t-\tau}} - L_{f_{t-\tau}} - L_{g_{t-\tau}} u_{t-\tau} = \mathfrak{R}_{TDE} \end{aligned}$$

تخمین تأخیر زمانی به عنوان سیستم تشخیص عیب مقاوم عمل می‌کند که عیب عملگر را در حضور عدم قطعیت به صورت دقیق تشخیص می‌دهد. لازم به ذکر است که این سیستم تشخیص عیب نه تنها در مقابل هرنوع عیوبی حساس می‌باشد، بلکه در مقابل عدم قطعیت‌ها نیز مقاوم است. به منظور تضمین مقاوم بودن سیستم، یک آستانه<sup>۱</sup> باید به گونه‌ای انتخاب شود که وقتی عیب در سیستم نیست، داریم:

$$\mathfrak{R}_{TDE} = \Delta_r(x, \dot{x}, u) \leq \bar{\Delta} = \mathbb{Z}_{threshold} \quad (23)$$

رابطه (۲۳) دلالت بر شرایط عادی سیستم داشته و وقتی عیوب در سیستم نباشد سیگنال مانده همیشه کمتر از آستانه می‌باشد. انتخاب مناسب آستانه می‌تواند مقاوم بودن سیستم تشخیص عیب را تضمین کند. لازم به ذکر است که وقتی سیگنال مانده از مقدار آستانه عبور کند، عیب نیز تشخیص داده خواهد شد. عیب عملگر و عدم قطعیت با توجه به روابط (۲۰) تا (۲۲) با استفاده از تخمین تأخیر زمانی به صورت زیر قابل بیان هستند:

$$\Delta_r(x, \dot{x}, u) + \Phi_r(x, \dot{x}, u) = \mathfrak{R}_{TDE} + v \quad (24)$$

که  $v$  خطای تخمین تأخیر زمانی است. در نهایت مدل توربین در حضور اغتشاش خارجی، عدم قطعیت و عیب عملگر به صورت رابطه (۲۵) قابل بازنویسی است:

$$\ddot{x}_1 = L_f + L_g u + d + \mathfrak{R}_{TDE} + v \quad (25)$$

**فرض ۳:** خطای تخمین تأخیر زمانی دارای حد بالا می‌باشد.

Threshold

$$\begin{aligned} \dot{V} &= S\dot{S} + \tilde{d}\dot{\tilde{d}} \\ &= \left[ S \begin{pmatrix} -\ddot{\omega}_r^* + L_f - L_g \cdot L_g^{-1} \\ -\ddot{\omega}_r^* + k_p \dot{e} + k_i e + \\ L_f + \hat{d} + K \operatorname{sgn}(S) \end{pmatrix} + d + k_p \dot{e} + k_i e \right] - \lambda \tilde{d}^2 \quad (19) \\ &= \left[ S \begin{pmatrix} -K \operatorname{sgn} \\ (S) + \tilde{d} \end{pmatrix} - \lambda \tilde{d}^2 \right] \\ &\leq \left[ S \begin{pmatrix} -(\eta + E_d) \\ \operatorname{sgn}(S) + \tilde{d} \end{pmatrix} - \lambda \tilde{d}^2 \right] \leq \begin{bmatrix} -\eta |S| \\ -\lambda \tilde{d}^2 \end{bmatrix} \end{aligned}$$

بنابراین پایداری سیستم در حضور اغتشاش خارجی نامعلوم تحت قانون کنترل طراحی شده تضمین می‌شود. در مقایسه با قانون کنترل مد لغزشی معمولی که نیاز به انتخاب بهره کنترلی به صورت  $K \geq \eta + E_d$  دارد، مقدار بهره کنترلی جمله ناپیوسته در قانون کنترلی پیشنهادی و همچنین چترینگ به میزان قابل ملاحظه‌ای کاهش پیدا کرده است.

**۳-۳- کنترل تحمل‌پذیر عیب فعال با استفاده از تخمین تأخیر زمانی و مد لغزشی بر مبنای رؤیتگر اغتشاش غیرخطی**  
در این قسمت تشخیص عیب با استفاده از تخمین تأخیر زمانی انجام خواهد شد. با درنظر گرفتن مدل توربین باد در حضور عیب عملگر و عدم قطعیت به صورت  $\dot{x}_1 = L_f + L_g u + \Phi_r(x, \dot{x}, u) + \Delta_r(x, \dot{x}, u)$  برای مقدار گام زمانی کوچک ( $\tau$ )، عدم قطعیت  $\Delta_r(x, \dot{x}, u)$  و عیب  $\Phi_r(x, \dot{x}, u)$  به صورت زیر قابل تخمین می‌باشند [۳۶]:

$$\begin{aligned} \Delta_r(x, \dot{x}, u)_t &\cong \Delta_r(x, \dot{x}, u)_{t-\tau} \\ \Phi_r(x, \dot{x}, u)_t &\cong \Phi_r(x, \dot{x}, u)_{t-\tau} \quad (20) \end{aligned}$$

بنابراین تخمین عدم قطعیت و عیب به صورت زیر انجام می‌شود:

$$\begin{aligned} \hat{\Delta}_r(x, \dot{x}, u)_t &\triangleq \Delta_r(x, \dot{x}, u)_{t-\tau} \\ \hat{\Phi}_r(x, \dot{x}, u)_t &\triangleq \Phi_r(x, \dot{x}, u)_{t-\tau} \quad (21) \end{aligned}$$

با جایگذاری رابطه (۲۰) و (۲۱) در رابطه (۸) رابطه (۲۲) به صورت زیر قابل استخراج است:

لغزشی مبتنی بر رؤیتگر اغتشاش و تخمین تأخیر زمانی در حضور عیب عملگر و عدم قطعیت تضمین خواهد شد.

$$|v| \leq \bar{v}$$

مجددأً مشتق سطح لغزش به صورت رابطه (۲۶) یازنوسی می‌شود.

**۴-۳- رؤیتگر حالت لغزشی فراپیچشی**  
با درنظر گرفتن مدل توربین به صورت فضای حالت زیر:

$$\begin{aligned} \dot{S} = & (L_f + L_g u + d + \mathfrak{R}_{TDE} \\ & + v - \ddot{x}_1^*) + k_p \dot{e}(t) + k_i e(t) \end{aligned} \quad (26)$$

$$\begin{aligned} \dot{x}_1 &= x_2 \\ \dot{x}_2 &= L_f + L_g u + d + \Phi_r + \Delta_r \\ y &= x_1 = \omega_r \end{aligned} \quad (30)$$

معادلات رؤیتگر حالت لغزشی فراپیچشی به صورت رابطه (۳۱)

[۳۷] ارائه شده است

که

$$\begin{aligned} \dot{\hat{x}}_1 &= \hat{x}_2 + \alpha_1 \|\hat{x}_1 - \hat{x}_2\|^{1/2} \operatorname{sgn}(x_1 - \hat{x}_1) \\ \dot{\hat{x}}_2 &= L_f(x_1, \hat{x}_2) + L_g(x_1, \hat{x}_2) u + \alpha_2 \operatorname{sgn}(x_1 - \hat{x}_1) \end{aligned} \quad (31)$$

در رابطه (۳۱)  $\alpha_i$  ثابت‌های مد لغزشی هستند که باید در فرایند طراحی تعیین شوند. با تفاضل رابطه (۳۱) و (۳۰) خطای رؤیتگر مطابق با رابطه (۳۲) بدست می‌آید.

$$\begin{aligned} \dot{\tilde{x}}_1 &= \tilde{x}_2 + \alpha_1 \|\tilde{x}_1 - \tilde{x}_2\|^{1/2} \operatorname{sgn}(\tilde{x}_1) \\ \dot{\tilde{x}}_2 &= F(x_1, \hat{x}_2, x_2, u) - \alpha_2 \operatorname{sgn}(\tilde{x}_1) \\ \tilde{x}_i &= x_i - \hat{x}_i \end{aligned} \quad (32)$$

$$f(x_1, x_2, u) = L_f + L_g u$$

$$D(x_1, \hat{x}_2, \tilde{x}_2) = f(x_1, x_2, u) - f(x_1, \hat{x}_2, u)$$

$$F(x_1, \hat{x}_2, x_2, u) = D(x_1, x_2, \hat{x}_2) + d + \Phi_r + \Delta_r$$

از آنجایی که مشتق‌گیری از سنسورهای شتاب‌سنج و یا جی‌پی.

اس<sup>۱</sup> امکان بروز خطای قابل توجه در حضور نویز پذیری سنسورها وجود دارد، به منظور محاسبه مشتقات حالت‌های توربین باد، می‌توان از این رؤیتگر استفاده نمود و متغیرهای مطلوب را با سرعت و دقت

قانون کنترل بر مبنای الگوریتم کنترل تأخیر زمانی به صورت زیر قابل بیان است:

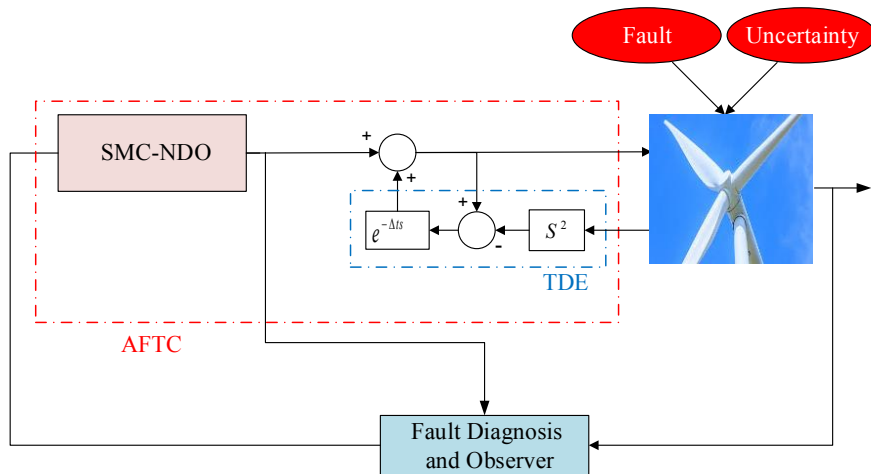
$$u = u_{eq} + u_{re} + u_{TDE} \quad (27)$$

$$\begin{aligned} u_{TDE} &= \frac{-1}{L_g} \mathfrak{R}_{TDE} \\ u_{re} &= \frac{-1}{L_g} (K + \bar{v}) \operatorname{sgn}(S) \\ u_{eq} &= \frac{-1}{L_g} (-\ddot{\omega}_r^* + k_p \dot{e} + k_i e + L_f + \hat{d}) \end{aligned} \quad (28)$$

اثبات: یکتابع لیاپانوف به صورت  $V = \frac{1}{2} (S^T + \tilde{d}^T)$  در نظر گرفته می‌شود. با توجه به قانون کنترل رابطه (۲۸) و فرض ۳، مشتق زمانی آن به صورت زیر قابل بیان و ساده‌سازی است:

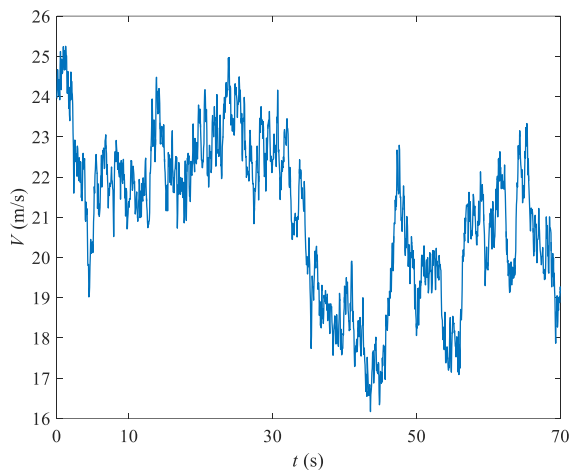
$$\begin{aligned} \dot{V} &= S \dot{S} + \tilde{d} \dot{\tilde{d}} \\ &= \left[ S \left( -\ddot{\omega}_r^* + L_f - \left( \begin{array}{c} -\ddot{\omega}_r^* + k_p \dot{e} + k_i e + L_f + \mathfrak{R}_{TDE} \\ + \hat{d} + (K + \bar{v}) \operatorname{sgn}(S) \end{array} \right) \right) - \lambda \tilde{d}^2 \right] \\ &= \left[ S \left( \begin{array}{c} -(K + \bar{v}) \operatorname{sgn} \\ (S) + \hat{d} + v \end{array} \right) - \lambda \tilde{d}^2 \right] \leq \\ &\quad \left[ |S| ((\bar{v} - K - \bar{v}) + \hat{d}) - \lambda \tilde{d}^2 \right] \leq \left[ -K |S| - \lambda \tilde{d}^2 \right] \end{aligned} \quad (29)$$

بنابراین، پایداری سیستم توربین باد تحت قانون کنترل مد



شکل ۳. دیاگرام بلوکی ساختار کنترلی پیشنهادی

Fig. 3. Block diagram of the proposed control structure



شکل ۴. پروفایل باد توربولانسی

Fig. 4. Turbulent wind profile

بعضی رفتارهای دینامیکی می‌باشد. بر همین اساس، پیاده‌سازی کنترل کننده‌ها روی یک مدل دقیق‌تر و بسیار نزدیک به مدل واقعی توربین باد، مانند مدل فست<sup>۱</sup> لازم و ضروری است. ازین رو، به منظور اعتبارسنجی، کنترل کننده‌های طراحی شده در محیط شبیه‌ساز فست<sup>۱</sup> تحت سرعت باد توربولانسی با مقدار میانگین ۲۱ متر بر ثانیه و شدت توربولانسی ۱۵ درصد پیاده‌سازی شده‌اند. برای تولید پروفیل‌های باد در شبیه‌ساز فست<sup>۱</sup> از نرم افزار توربیسیم<sup>۲</sup> استفاده شده

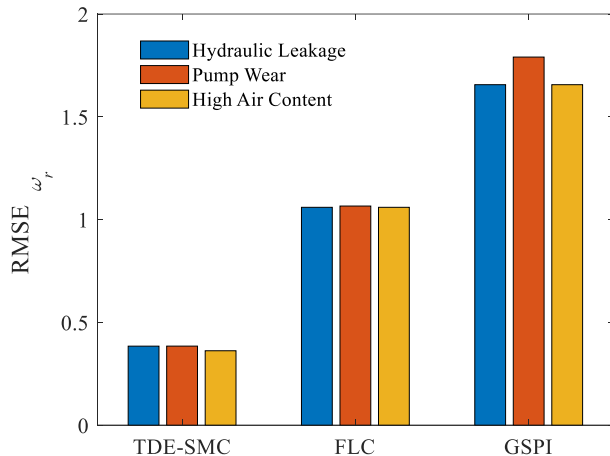
بالایی تخمین زد. با توجه به این که دو خاصیت سرعت و دقت بالا از ویژگی‌های بارز رؤیتگرهای مد لغزشی مرتبه بالا می‌باشند، در این مقاله از این رؤیتگر به منظور تخمین سرعت روتور استفاده شده است. بلوك دیاگرام ساختار کنترلی پیشنهادی در شکل ۳ نشان داده شده است.

#### ۴- نتایج شبیه‌سازی

کنترل کننده‌های طراحی شده در این مقاله بر مبنای مدل دوجرمی طراحی شده است که شامل ساده‌سازی و صرف‌نظر از

<sup>1</sup>FAST

<sup>2</sup>TurbSim



شکل ۵. مربع میانگین خطای سرعت روتور در حضور عیوب‌های مختلف  
Fig. 5. RMSE of rotor speed in the presence of different faults

شده است.

$$\text{RMSE} = \sqrt{\frac{\int_{t_0}^{t_1} e_{\omega_r}^2 dt}{t_1 - t_0}} \quad (33)$$

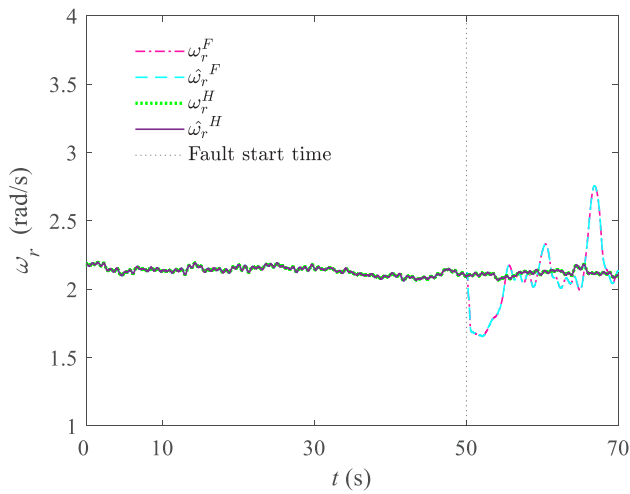
مقدار مربع میانگین خطای برای هر کنترل‌کننده در حضور سه نوع عیوب شامل نشتی هیدرولیکی، خرابی پمپ، و محتوی هوا در روغن محاسبه و در شکل ۵ نشان داده شده است. همانطور که در شکل ۵ دیده می‌شود ساختار کنترل تحمل‌بذری پیشنهادی دارای مقدار خطای کمتری نسبت به هردو کنترل‌کننده خطی‌سازی فیدبک و جدول‌بندی بهره در حضور هر سه نوع عیوب می‌باشد. همچنین کنترل‌کننده مبتنی بر خطی‌سازی فیدبک دارای مقدار خطای کمتری نسبت به روش تطبیقی جدول‌بندی بهره می‌باشد. لازم به ذکر است به منظور تعیین پارامترهای کنترلی بهینه، یکتابع هزینه بهصورت مجموع مربع میانگین خطای و نرخ تغییرات ورودی کنترلی در نظر گرفته شده و سپس با استفاده از الگوریتم جستجوی هارمونی نیز کمینه شده است.

منحنی سرعت روتور با و بدون حضور عیوب در شکل ۷ نشان داده شده است. همانطور که دیده می‌شود سرعت روتور با حضور کنترل‌کننده ترکیبی مد لغزشی، رؤیتگر اغتشاش و تخمین تأخیر زمانی تقریباً در اطراف مقدار نامی سرعت روتور برای توربین مورد

است. پروفیلهای باد از نوع مدل طیفی کایمیل آی.ای.سی<sup>۱</sup> هستند و با توربولانس‌های ۵٪ و ۱۵٪ ایجاد شده‌اند. علاوه بر کنترل‌کننده طراحی شده، کنترل‌کننده‌های خطی‌سازی فیدبک و جدول‌بندی بهره نیز طراحی شده که در پیوست آورده شده‌اند.

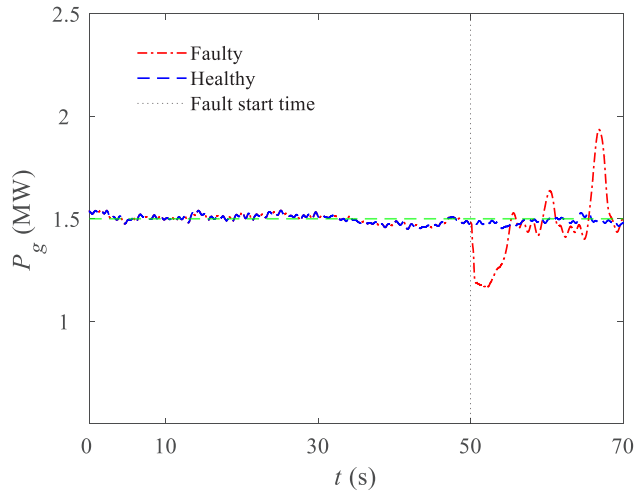
در کاربردهای عملی توربین‌های بادی، اثرات گرد و غبار و تغییرات چگالی هوا که در اثر شرایط محیطی مختلف ایجاد می‌شوند، به عنوان عدم قطعیت می‌توانند در نظر گرفته شوند. این عوامل باعث اثرگذاری روی ضریب توان آئرودینامیکی توربین بادی می‌شوند. لذا، در این مقاله کلیه شبیه‌سازی‌ها در حضور ۲۰ درصد کاهش عملکرد ضریب توان آئرودینامیکی به عنوان عدم قطعیت و همچنین نیز سنسور انجام شده است. لازم به ذکر است به منظور اختصار، نتایج شبیه‌سازی روی مدل دوچرخی گزارش نشده و فقط اعتبارسنجی کنترل‌کننده در محیط فست<sup>۱</sup> ذکر شده است.

عملکرد کنترل‌کننده طراحی شده تحت باد توربولانسی (شکل ۴) در مقایسه با دیگر کنترل‌کننده‌ها مورد ارزیابی قرار گرفته که نتایج آن در شکل ۵ آورده شده است. در شبیه‌سازی انجام شده که کنترل‌کننده‌ها زاویه پیچ را در ناحیه بار کامل کنترل می‌کنند، گشتاور ژنراتور در حضور عیوب عملگر در محدوده مقدار نامی خود ثابت نگه داشته شده است. همچنین به منظور مقایسه، مربع میانگین خطای بهصورت زیر برای خطای سرعت روتور در نظر گرفته شده و مقدار آن در شبیه‌سازی‌های مختلف برای هر کنترل‌کننده محاسبه



شکل ۶. سرعت روتور برای هر دو حالت سالم و عیوبدار

**Fig. 6. Rotor speed for both healthy and faulty conditions**



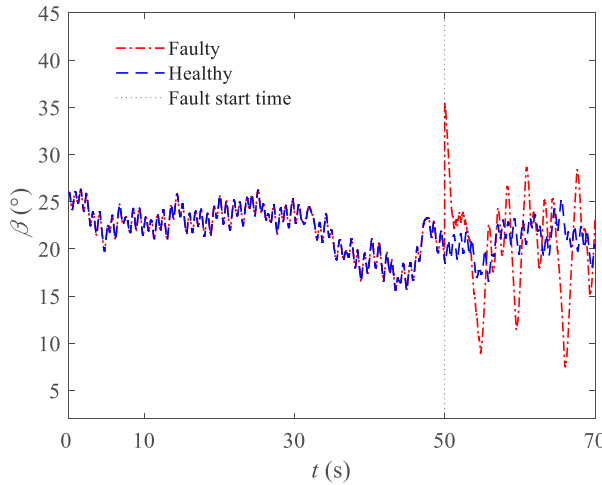
شکل ۷. توان ژنراتور برای هر دو حالت سالم و عیوبدار

**Fig. 7. Generator power for both healthy and faulty conditions**

که در شکل ۶ قابل مشاهده است. در حضور عیوب عملگر، توان نامی ۱/۵ مگاوات نیز تأمین می‌شود که این مهم ریشه در عملکرد مؤثر سیستم کنترل تحمل‌پذیر عیوب پیشنهادی در بی اثر کردن و جبران اثرات عیوب دارد.

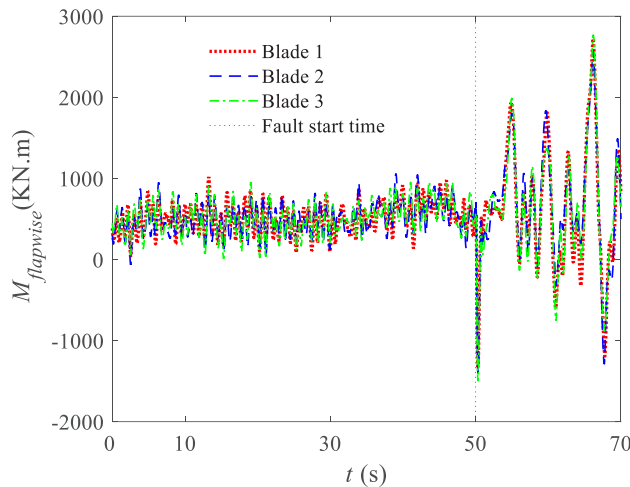
زاویه پیچ توربین باد تحت ساختار کنترل تحمل‌پذیر عیوب پیشنهادی برای دو حالت سالم و عیوبدار در شکل ۸ نشان داده شده است. ساختار پیشنهادی توانسته زاویه پیچ را در محدوده ۲۰ تا ۳۰ درجه نگه دارد. با اتفاق افتادن عیوب در زمان ۵۰ ثانیه، سرعت روتور ابتدا یک افت ناگهانی را تجربه می‌کند سپس کنترل‌کننده پیشنهادی خیلی سریع افت اتفاق افتاده را جبران و نوسانات سرعت روتور را در محدوده نامی نگه می‌دارد. از آنجایی

که در کاربرد واقعی، سرعت روتور به طور مستقیم قابل اندازه‌گیری نمی‌باشد، در این مقاله از یک رؤیتگر مد لغزشی مرتبه بالا برای تخمین سرعت روتور استفاده شده است. همانطور که در این شکل دیده می‌شود رؤیتگر مذکور توانسته به خوبی سرعت روتور را تخمین بزند. علاوه بر سرعت روتور، توان ژنراتور نیز روند مشابهی را طی کرده



شکل ۸. زاویه پیچ برای هر دو حالت سالم و عیوبدار

Fig. 8. Pitch angle for both healthy and faulty conditions



شکل ۹. گشتاورهای وارده به پرههای توربین باد

Fig. 9. Moments on wind turbine blades

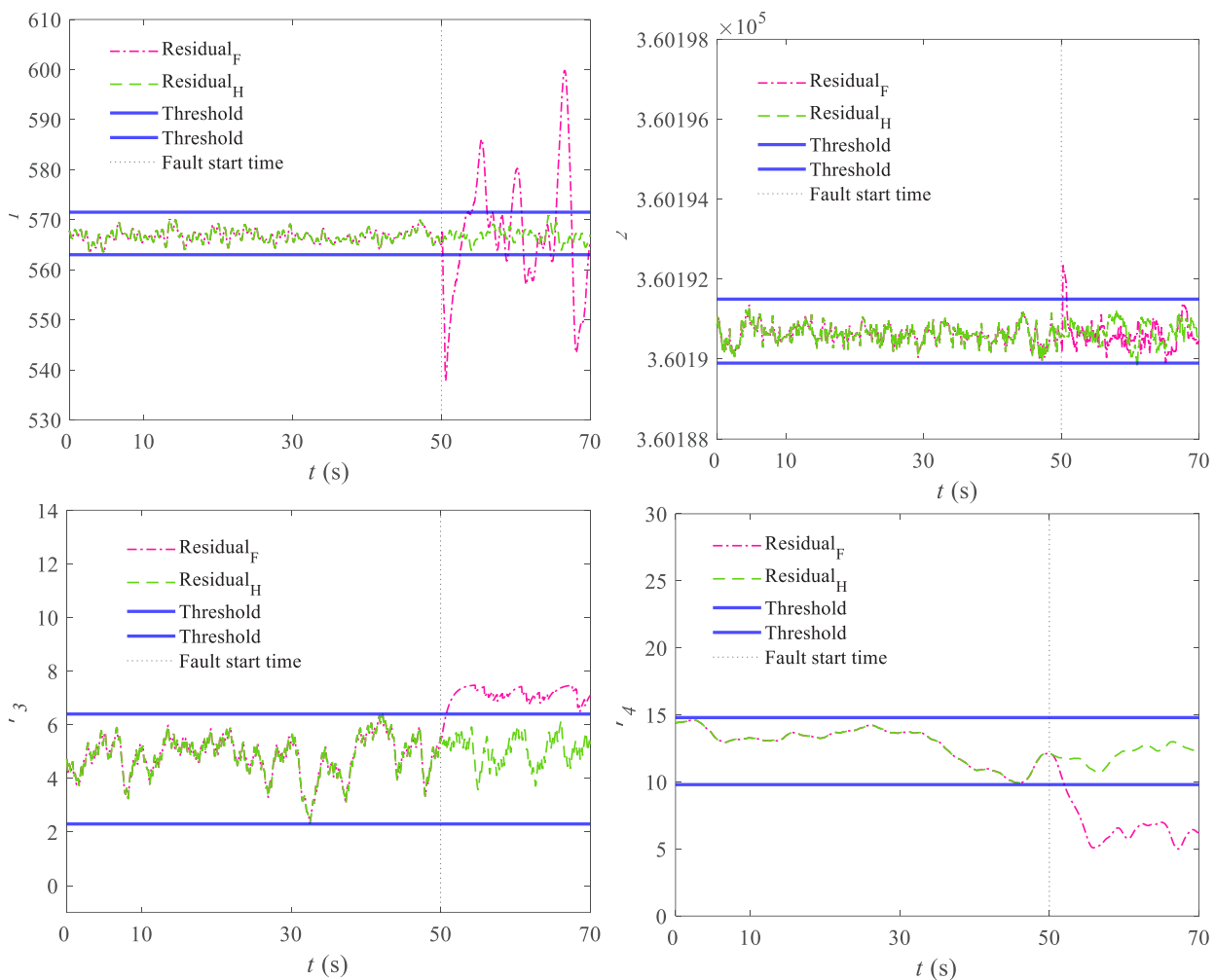
سیکل بارگذاری با فرکانس‌های مختلف می‌باشد. همانطور که مشاهده می‌شود ساختار کنترل تحمل پذیر عیوب پیشنهادی توانسته به خوبی اثر عیوب عملگر را جبران و آن را در یک محدوده نگه دارد.

#### تشخیص عیوب

در حالت عادی و بدون حضور عیوب عملگر، تخمین تأخیر زمانی به عنوان یک تخمین‌گر عدم قطعیت عمل می‌کند. به منظور ایزوله‌سازی و تشخیص عیوب، سیگنال مانده<sup>۱</sup> باید استخراج شود که برای سیستم توربین بادی مورد مطالعه در شکل ۱۰ نشان داده

اثرات شدید عیوب عملگر را تحمل و در راستای جبران آنها تلاش کند. بارهای ناشی از خستگی که به هر مؤلفه توربین باد اعمال می‌شوند می‌توانند عمر آن مؤلفه را تحت تأثیر قرار دهند. ساختار کنترلی پیشنهادی توانسته به خوبی اثرات این بارهای را کاهش دهد و از افزایش زیاد آن‌ها بعد از اتفاق افتادن عیوب جلوگیری کند. در ادامه بارهای حیاتی اعمالی به مؤلفه‌های اصلی توربین باد از قبیل نیروی محوری در ریشه پره و گشتاورهای پیچشی روی پره‌ها مورد بررسی قرار گرفته است. به عنوان مثال سری زمانی گشتاور پیچشی اعمالی به پره‌ها در شکل ۹ نشان داده شده است که حاوی تعداد بسیار زیادی

<sup>1</sup>Residual



شکل ۱۰. تشخیص عیب بر اساس ماندها  
Fig. 10. Fault detection based on residuals

و معمولاً بصورت هیدرولیکی تحریک می‌شود. ازینرو، در این مقاله عیب عملگر مورد توجه قرار گرفت و در این راستا دینامیک عیب در سیستم هیدرولیکی که شامل نشتی هیدرولیکی، خرابی پمپ و محتوی هوا در روغن به عنوان سیال عامل می‌باشد، در نظر گرفته شد. بدین منظور، ابتدا بر مبنای مدل دو جرمی توربین باد یک ساختار کنترل تحمل‌پذیر عیب به صورت ترکیب استراتژی مد لغزشی، رؤیتگر اغتشاش غیرخطی و تخمین تأخیر زمانی ارائه شد. به منظور کاهش پدیده چترینگ، رؤیتگر اغتشاش غیرخطی طراحی و با کنترل مد لغزشی ترکیب شد. از آنجایی که در واقعیت، سرعت روتور در دسترس نیست و نیاز به اندازه‌گیری دارد، تخمین سرعت روتور با استفاده از رؤیتگر مقاوم مد لغزشی فراپیچشی انجام شد. با توجه به اهمیت و جایگاه تشخیص عیب در سیستم‌های توربین بادی،

شده‌اند. به منظور نشان دادن عملکرد مناسب سیستم تشخیص عیب پیشنهادی، نشتی هیدرولیکی که دارای دینامیک شدیدتری نسبت به خرابی پمپ و محتوی هوا در روغن سیستم هیدرولیک بوده، به عنوان عیب در نظر گرفته شده است. همانطور که مشاهده می‌شود در لحظه اتفاق افتادن عیب، سیگнал مانده از محدوده آستانه‌های در نظر گرفته شده عبور کرده که نشان‌دهنده عملکرد موفق سیستم تشخیص عیب در تشخیص و محدودسازی عیب می‌باشد.

## ۵- نتیجه گیری

در این مقاله مسئله کنترل تحمل‌پذیر عیب برای سیستم توربین بادی در حضور عیب عملگر بررسی شد. توربین باد دارای زیرسیستم‌های مختلف می‌باشد که زیر سیستم زاویه پیچ یکی از مهم‌ترین آنها بوده

توربین بادی در معادله (پ-۱) با یک سیستم به فرم نرمال و با دینامیک صفر پایدار هم ارز است. به عبارت دیگر مشتق‌گیری از معادله (پ-۱) تضمین می‌کند که سیستم در تمامی نقاط کاری خود پایدار و غیر تکین است [۳۰-۳۱]. بنابراین با علم به این موضوع و با مشتق‌گیری از معادله (پ-۱) می‌توان نوشت

$$\ddot{x}_l = L_f + L_g u + \Phi_r + \Delta_r \quad (\text{پ-۲})$$

که در آن  $L_g$  و  $L_f$  جمله‌های غیرخطی بوده [۳۲] و  $\Phi_r$  و  $\Delta_r$  بیانگر عیب و عدم قطعیت می‌باشند. برای رسیدن به قانون کنترلی خطی‌سازی فیدبک، ورودی کنترلی مجازی

$$\ddot{x}_l = v \quad (\text{پ-۳})$$

به گونه‌ای انتخاب می‌شود که دینامیک حلقه بسته خطا پایدار باشد. یعنی

$$v = \gamma_1 \dot{e} + \gamma_2 e \quad (\text{پ-۴})$$

در رابطه فوق  $e = \omega_r^* - \omega_r$  خطای پایدار سازی سرعت روتور و  $\omega_r^*$  بیانگر مقدار مرجع سرعت روتور می‌باشد.  $\gamma_1$  و  $\gamma_2$  پارامترهای کنترلی مثبت هستند. در نهایت قانون کنترلی به صورت زیر خواهد بود

$$u = \frac{1}{L_g} (\gamma_1 \dot{e} + \gamma_2 e - L_f) \quad (\text{پ-۵})$$

لازم به ذکر است که  $L_g$  به ازای تمامی نقاط کاری توربین بادی غیر صفر است [۳۲].

## ۲- کنترل کننده جدول‌بندی بهره

به علت غیر خطی‌های آثرو دینامیکی شدید توربین‌های بادی و سرعت باد متغیر با زمان در این سیستم‌ها، کنترل کننده تناسبی-

یک سیستم تشخیص عیب مناسب با استفاده از تئوری تخمین تأخیر زمانی طراحی شد. به منظور اعتبارسنجی، ساختار پیشنهادی در محیط شبیه‌ساز فست که حاوی یک مدل جامع و نزدیک به واقعیت از توربین باد می‌باشد، پیاده‌سازی شد. همچنین برای انجام مقایسه و نشان دادن برتری ساختار پیشنهادی، کنترل کننده‌های مبتنی بر خطی‌سازی فیدبک و روش تطبیقی جدول‌بندی بهره نیز طراحی شدند. مقایسه برای سه نوع عیب عملگر با دینامیک‌های مختلف انجام و در نمودار میله‌ای نتایج برای هر کنترل کننده نمایش داده شد که برتری ساختار پیشنهادی در خنثی‌کردن اثرات عیب، عدم قطعیت و نوبت سنسور به وضوح دیده شد. علاوه براین، دیده شد که ساختار پیشنهادی تغییرات ناگهانی بعد از اتفاق افتادن عیب در سیستم را به خوبی جبران کرده است. این مهم نه تنها در نمودار مربوط به سرعت روتور و توان ژنراتور، بلکه در نتایج مربوط به گشتاورهای وارد به هر پره و همچنین زاویه پیچ پره به وضوح دیده شد. از نقطه نظر ارزیابی تشخیص عیب، سیستم تشخیص عیب پیشنهادی به خوبی توانست موقع عیب را در کمترین زمان ممکن تشخیص و اقدام به محدود کردن آن کند. بنابراین، می‌توان این چنین نتیجه گرفت که ساختار کنترل تحمل‌پذیر عیب فعال یک ساختار مناسب برای سیستم توربین باد در واقعیت می‌باشد چرا که در این ساختار از تئوری کنترل تأخیر زمانی که طبیعتی بدون نیاز به مدل دارد، بهره گرفته شده در نتیجه برای پیاده‌سازی واقعی آسان و مناسب می‌باشد.

## پیوست

### ۱- کنترل کننده خطی‌سازی فیدبک

در روش خطی‌سازی فیدبک، رابطه بین خروجی سیستم، یعنی سرعت روتور  $x_1 = y$  و ورودی سیستم، یعنی زاویه پیچ کنترلی  $u = \beta_r$  با مشتق‌گیری از خروجی تا زمانی که ورودی کنترلی ظاهر گردد، انجام می‌شود. با در نظر گرفتن معادله دینامیک روتور به صورت زیر:

$$\dot{x}_1 = \frac{1}{J_r} \left( \frac{P_r(x_1, x_4, V)}{x_1} - x_1 D_s + \frac{x_2 D_s}{N_g} - x_3 K_s \right) \quad (\text{پ-۶})$$

می‌توان نشان داد که تبدیل دیفومورفیزمی وجود دارد که سیستم

## مراجع

- [1] B. Boukhezzar, L. Lupu, H. Siguerdidjane, M. Hand, Multivariable control strategy for variable speed, variable pitch wind turbines, Renewable Energy, 32(8) (2007) 1273-1287.
- [2] E. Muljadi, C. P. Butterfield, Pitch-controlled variable-speed wind turbine generation, IEEE transactions on Industry Applications, 37(1) (2001) 240-246.
- [3] S. Park, Y. Nam, Two LQRI based blade pitch controls for wind turbines, Energies, 5 (2012) 1998-2016.
- [4] A. Fakharzadeh, F. Jamshidi, L. Talebnezhad, New approach for optimizing energy by adjusting the trade-off coefficient in wind turbines, Energy, sustain. Soc, 13 (9) (2013) 1-8.
- [5] L. Pao, K. Johnson, A tutorial on the dynamics and control of wind turbines and wind farms, in: Proc. American Contr. Conf., St. Louis, USA, (2009) 2076-2089.
- [6] V. Makvana, R. Ahir, D. Patel, J. Jadhav, Study of PID controller based pitch actuator system for variable speed HAWT using matlab, Int. J. Innova. Res. Sci. Eng. Tech., 2 (5) (2013) 1496-1504.
- [7] Y. Kim, H. Chung, S. Moon, Tuning of the PI controller parameters of a PMSG wind turbine to improve control performance under various wind speeds, Energies, 8 (2015) 1406-1425.
- [8] Song, Y. D., Dhinakaran, B., & Bao, X. Y. Variable speed control of wind turbines using nonlinear and adaptive algorithms. Journal of Wind Engineering and Industrial Aerodynamics, 85(3) (2000) 293-308.
- [9] Bossanyi, E. A. Individual blade pitch control for load reduction. Wind energy, 6(2) (2003) 119-128.
- [10] Sandquist, F., Moe, G., & Anaya-Lara, O. Individual pitch control of horizontal axis wind turbines. Journal of Offshore Mechanics and Arctic Engineering, 134(3) (2012).
- [11] Yin, X. X., Lin, Y. G., Li, W., & Gu, Y. J.. Integrated pitch control for wind turbine based on a novel pitch control system. Journal of Renewable and Sustainable Energy, 6(4) (2014).

انتگرالی-مشتقی که از یک سری ضرایب بهینه شده ثابت استفاده می‌کند، نمی‌تواند عملکرد بهینه قابل قبول را هنگامی که نقطه کاری توربین تغییر کند، داشته باشد. به منظور مقابله با این مسئله در این مقاله یک کنترل‌کننده تطبیقی به روش جدول‌بندی بهره پیشنهاد شده است.

یک کنترل‌کننده تطبیقی به روش جدول‌بندی بهره نیاز به اندازه‌گیری سرعت باد برای تنظیم پارامترهای کنترل‌کننده دارد. یکی از مواردی که به ذهن می‌رسد استفاده از داده‌های به دست آمده از یک باد سنج نصب شده روی ناسل است. اما این بادسنج تنها می‌تواند سرعت باد را در یک نقطه خاص اندازه‌گیری کند که در توربین‌های بادی بزرگ برای دستیابی به سرعت باد مؤثر دقیق نیست. برای دستیابی به یک پیش‌بینی دقیق‌تر سرعت باد مؤثر، خود سرعت باد می‌تواند به عنوان یک سنسور استفاده شده و پیش‌بینی دقیق‌تر سرعت باد می‌تواند با حل روش نیوتون-رافسون به دست آید.

از آنجایی که استفاده از روش پیش‌بینی ذکر شده در بالا نیازمند یک پیش‌بینی پیچیده به‌هنگام سرعت باد دارد و ممکن است به علت تغییرات سریع سرعت باد منجر به سویچینگ سریع بین پارامترها شود، یک کنترل‌کننده جدول‌بندی بهره بهود یافته بر پایه سویچینگ زاویه پیچ پیشنهاد شده است. به منظور دستیابی به یک سویچینگ پیوسته بر پایه زاویه پیچ، پارامتر جدول‌بندی شده به صورت حاصل‌ضرب پارامترهای ثابت کنترل‌کننده تناسبی-انتگرالی-مشتقی با یک پارامتر جدول‌بندی با نام  $K(\beta)$  که تابعی از زاویه پیچ است، بدست آمده است. پارامتر جدول‌بندی شده  $K(\beta)$  برای جبران تغییرات حساسیت آئرودینامیکی،  $\frac{\partial P_r}{\partial \beta}$ ، پیشنهاد شده است [۳۵]

$$u = K(\beta) \left[ k_p + \frac{k_i}{s} + k_d s \right] (\omega_r - \omega_r^*) \quad (۶)$$

که در آن

$$K(\beta) = \begin{cases} 1.6 & -1 < \beta < 0 \\ 0.001\beta^2 + 0.01\beta + 1.6 & 0 < \beta < 30 \\ 1 & \beta > 30 \end{cases} \quad (۷)$$

- tolerant control of wind turbines with an adaptive output feedback sliding mode controller”, *Renewable energy*, 135 (2019) 55-65.
- [23] Y. Vidal, C. Tutivén, J. Rodellar, L. Acho, “Fault diagnosis and fault-tolerant control of wind turbines via a discrete time controller with a disturbance compensator”, *Energies*, 8(5) (2015) 4300-4316.
- [24] Habibi, Hamed, Hamed Rahimi Nohooji, and Ian Howard. “Adaptive PID control of wind turbines for power regulation with unknown control direction and actuator faults.” *IEEE Access* 6 (2018) 37464-37479.
- [25] C. Sloth, T. Esbensen, and J. Stoustrup, “Robust and fault-tolerant linear parameter-varying control of wind turbines,” *Mechatronics*, 21(4) (2011) 645–659.
- [26] M. Sami and R. J. Patton, “Fault tolerant adaptive sliding mode controller for wind turbine power maximisation,” in *Proceedings of the 7th IFAC Symposium on Robust Control Design*, Aalborg, Denmark, 2012.
- [27] Lee, Hoon, and Vadim I. Utkin. “Chattering suppression methods in sliding mode control systems.” *Annual reviews in control* 31(2) (2007) 179-188.
- [28] D. Malcolm, A. Hansen, *WindPACT Turbine Rotor Design Study*, National Renewable Energy Laboratory (NREL), Golden, 2003.
- [29] J. Carroll, A. McDonald, D. McMillan, Failure rate, repair time and unscheduled O&M cost analysis of offshore wind turbines, *Wind Energy* 19(6) (2016) 1107-1119.
- [30] A. Kumar, K. Stol, Simulating Feedback Linearization control of wind turbines using high-order models, *Wind Energy*, 13(5) (2010) 419-432.
- [31] S. C. Thomsen, Nonlinear control of a wind turbine, Thesis, Technical University of Denmark, DTU, DK-2800 Kgs. Lyngby, Denmark, (2006).
- [32] Y. Ren, L. Li, J. Brindley, L. Jiang, Nonlinear PI control for variable pitch wind turbine, *Control Engineering Practice*, 50 (2016) 84-94.
- [33] W.-H. Chen, J. Yang, L. Guo, S. Li, Disturbance-observer-based control and related methods—an overview, *IEEE Trans. Ind. Electron.* 63 (2) (2016) 1083-1095.
- [34] W.-H. Chen, Nonlinear disturbance observer-enhanced [12] Yin, X. X., Lin, Y. G., Li, W., Liu, H. W., & Gu, Y. J. Adaptive sliding mode back-stepping pitch angle control of a variable-displacement pump controlled pitch system for wind turbines. *ISA transactions*, 58 (2015) 629-634.
- [13] Lescher F, Zhao JY, Borne P, Robust gain scheduling controller for pitch regulated variable speed wind turbine. *Stud Inform Control* 14 (2005) 299–315.
- [14] Bianchi, F. D., Mantz, R. J., & Christiansen, C. F. (2005). Gain scheduling control of variable-speed wind energy conversion systems using quasi-LPV models. *Control Engineering Practice*, 13(2) 247-255.
- [15] Beltran, B., Ahmed-Ali, T., & Benbouzid, M. E. H. Sliding mode power control of variable-speed wind energy conversion systems. *IEEE Transactions on Energy Conversion*, 23(2) (2008) 551-558.
- [16] Assareh, E., & Biglari, M. A novel approach to capture the maximum power from variable speed wind turbines using PI controller, RBF neural network and GSA evolutionary algorithm. *Renewable and Sustainable Energy Reviews*, 51 (2015) 1023-1037.
- [17] Rahimi, M. Drive train dynamics assessment and speed controller design in variable speed wind turbines. *Renewable Energy*, 89 (2016) 716-729.
- [18] H. Moradi, G. Vossoughi, Robust control of the variable speed wind turbines in the presence of uncertainties: A comparison between  $H\infty$  and PID controllers, *Energy*, 90 (2015) 1508-1521.
- [19] Fazlollahi, V., & Taghizadeh, M. Modelling and design of dynamic feedback controller with wind speed estimator, in variable speed wind turbines. *Modares Mechanical Engineering*, 16(4) (2016) 361-371 (in persian).
- [20] Y. Ait El Maati, L. El Bahir, K. Faitah, “Fault Tolerant Control of Internal Faults in Wind Turbine: Case Study of Gearbox Efficiency Decrease”, *International Journal of Rotating Machinery*, 2018.
- [21] K. S. Xiahou, Y. Liu, M. S. Li, and Q. H. Wu, “Sensor fault-tolerant control of DFIG based wind energy conversion systems”, *International Journal of Electrical Power & Energy Systems*, 117 (2020) 55-63.
- [22] A. Azizi, H. Nourisola, S. Shoja-Majidabad, “Fault

- Industrial electronics, 58(1) 57-65 (2011).
- [36] K. Youcef-Toumi and O. Ito, "A time delay controller for systems with unknown dynamics," *J. Dyn. Syst. Meas. Control*, 112(1) (1990) 133–142.
- [37] Y. Shtessel, C. Edward, L. Fridman, A. Levant, *Sliding Mode Control and Observation*, Springer, (2014).
- dynamic inversion control of missiles, *J. Guid. Control Dyn.* 26(1) (2003) 161–166.
- [35] E. B. Muhando, T. Senju, A. Uehara, T. Funabashi, Gain-Scheduled  $H\infty$  Control for WECS via LMI Techniques and Parametrically Dependent Feedback Part II: Controller Design and Implementation, *IEEE Transactions on*

چگونه به این مقاله ارجاع دهیم

*M. Mazare, M. Taghizadeh, Active Fault Tolerant Control of Wind Turbine Systems using Disturbance Observer-based Sliding Mode and Time Delay Estimation, Amirkabir J. Mech Eng., 53(8) (2021) 4517-4534.*

DOI: [10.22060/mej.2021.18529.6834](https://doi.org/10.22060/mej.2021.18529.6834)

